

УДК 535.36+539.186.3

**РАССЕЯНИЕ СВЕТА  
ПРИ НЕСИММЕТРИЧНЫХ ИОН-АТОМНЫХ СТОЛКНОВЕНИЯХ  
В НЕРЕЗОНАНСНОМ ЛАЗЕРНОМ ПОЛЕ**

*В. Л. Бахрах, И. М. Уманский и С. И. Ветчинкин*

Исследован спектр излучения в процессе радиационной перезарядки при столкновении отрицательного иона с атомом в нерезонансном лазерном поле.

Большой интерес, проявляемый в настоящее время к радиационным столкновениям атомов (и в частности, к радиационной перезарядке), во многом связан с тем, что интенсивное лазерное излучение, осуществляя энергетические резонансы в системе сталкивающихся атомов, может активно влиять на сечение процесса [1]. Применение лазеров открывает новые возможности возбуждения и распада атомно-молекулярных систем и позволяет селективно воздействовать на кинетику химических реакций. С другой стороны, изменение спектральной плотности излучения под влиянием столкновений может служить полезным источником информации о взаимодействии частиц. Теоретическое изучение формы линии излучения при столкновениях проведено лишь для случая резонансной перезарядки атомов  $A + A^+ \rightarrow A^+ + A$  [2, 3]. В работе [2] рассмотрено спонтанное излучение, обусловленное переходами между квазимолекулярными термами  $\varepsilon_u \rightarrow \varepsilon_g$  в отсутствие внешнего поля. Излучение той же системы  $A + A^+$  в поле  $E \cos \omega t$  рассмотрено в [3] для случая, когда при столкновении происходит подстройка молекулярных термов  $\varepsilon_u(R)$ ,  $\varepsilon_g(R)$  в резонанс с полем  $\varepsilon_u(R_{\text{рез}}) - \varepsilon_g(R_{\text{рез}}) = \hbar\omega$ .

В настоящей работе исследуется спектр излучения в процессе радиационной перезарядки при столкновении отрицательного иона с атомом  $A^- + B \rightarrow A^- + B^-$  во внешнем поле  $E \cos \omega t$  в случае, когда частота  $\omega$  далека от резонансов как с атомными, так и с квазимолекулярными термами системы  $(A + B)^-$ .

Особенность процесса перезарядки состоит в том, что он происходит на значительном расстоянии между ядрами  $R_0 \gg a_0$  ( $a_0$  — боровский радиус) и система  $A^- + B$  обладает большим дипольным моментом. При этом, в лазерном поле энергия взаимодействия квазимолекулы с излучением превышает энергию межатомного взаимодействия и не может рассматриваться как малое возмущение. Переход электрона с одного атома на другой сопровождается значительным изменением дипольного момента системы, что проявляется в характерных особенностях спектра рассеянного излучения. При столкновениях, сопровождающихся перезарядкой, когда изменения дипольного момента малы, спектр рассеянного излучения сохраняет типичные черты столкновительного уширения [4].

Будем рассматривать процесс перезарядки как переход в системе термов  $\varepsilon_1 \rightarrow \varepsilon_2$  квазимолекулы  $(A + B)^-$ . Тогда уравнение Шредингера, описывающее столкновение ионов  $A^-$  и  $B$  поле  $E \cos \omega t$ , имеет вид ( $\hbar = e = m_e = 1$ )

$$\left\{ -\frac{1}{2\mu} \nabla_{\mathbf{R}}^2 + H(\mathbf{r}, \mathbf{R}) + V(\mathbf{r}, \mathbf{R}) \cos \omega t + V'(\mathbf{r}, \mathbf{R}) \cos \omega' t \right\} \Psi = i \frac{\partial}{\partial t} \Psi \quad (1)$$

в системе центра масс.

Здесь  $H(\mathbf{r}, \mathbf{R})$  — гамильтониан молекулярного иона (A+B)<sup>-</sup>;  $V(\mathbf{r}, \mathbf{R})$  — энергия взаимодействия системы с полем

$$V(\mathbf{r}, \mathbf{R}) = -(ED) = (N_A - Z_A) \mathbf{E} \mathbf{R}_A + (N_B - Z_B) \mathbf{E} \mathbf{R}_B + \mathbf{E} \mathbf{r}, \quad (2)$$

$Z_A(Z_B)$  и  $N_A(N_B)$  — заряд и число электронов атомов A (B);  $\mathbf{R}_A(\mathbf{R}_B)$  — радиус-вектор ядра и  $\mathbf{r}$  — радиус-вектор электрона, совершающего переход от A к B;

$$\mathbf{R}_A = -\frac{M_B}{M_A + M_B} \mathbf{R}, \quad \mathbf{R}_B = \frac{M_A}{M_A + M_B} \mathbf{R}, \quad \mathbf{R} = \mathbf{R}_B - \mathbf{R}_A, \quad \mu = \frac{M_A M_B}{M_A + M_B},$$

$M_A, M_B$  — массы атомов.

Оператор  $V'(\mathbf{r}, \mathbf{R})$  описывает взаимодействие системы с нулевыми колебаниями поля. При полуклассическом рассмотрении процессов излучения  $V' = -(\mathbf{E}' \mathbf{D})$ , где напряженность поля  $E'$  определяется следующим образом:

$$E'^2/8\pi = \omega'^3 d\omega' d\Omega / (2\pi c)^3,$$

$c$  — скорость света,  $d\Omega$  — элемент телесного угла.

Собственные функции молекулярного гамильтониана  $\psi_1(\mathbf{r}, \mathbf{R}), \psi_2(\mathbf{r}, \mathbf{R})$  удовлетворяют уравнению

$$H(\mathbf{r}, \mathbf{R}) \psi_{1,2}(\mathbf{r}, \mathbf{R}) = \varepsilon_{1,2}(R) \psi_{1,2}(\mathbf{r}, \mathbf{R}), \quad (3)$$

с граничными условиями при  $R \rightarrow \infty$ , отвечающими нахождению электрона либо на атоме A ( $\psi_1 \rightarrow \varphi_A$ ), либо на атоме B ( $\psi_2 \rightarrow \varphi_B$ ).

Решение уравнения (1) ищем в виде

$$\Psi(\mathbf{r}, \mathbf{R}) = F_1(\mathbf{R}, t) \psi_1(\mathbf{r}, \mathbf{R}) + F_2(\mathbf{R}, t) \psi_2(\mathbf{r}, \mathbf{R}). \quad (4)$$

Подставляя (4) в (1), умножая полученное уравнение сначала на  $\psi_1^*$ , затем на  $\psi_2^*$  и интегрируя по  $\mathbf{r}$ , получаем систему двух уравнений

$$\left\{ -\frac{1}{2\mu} \nabla_{\mathbf{R}}^2 + \varepsilon_1 + V_{11} \cos \omega t + V'_{11} \cos \omega' t - i \frac{\partial}{\partial t} \right\} F_1(\mathbf{R}, t) = A_{12}(\mathbf{R}, t), \quad (5)$$

$$\left\{ -\frac{1}{2\mu} \nabla_{\mathbf{R}}^2 + \varepsilon_2 + V_{22} \cos \omega t + V'_{22} \cos \omega' t - i \frac{\partial}{\partial t} \right\} F_2(\mathbf{R}, t) = A_{21}(\mathbf{R}, t), \quad (6)$$

где

$$A_{12}(\mathbf{R}, t) = - \left[ V_{12} \cos \omega t + V'_{12} \cos \omega' t - \frac{1}{\mu} (\nabla_{\mathbf{R}})_{12} \nabla_{\mathbf{R}} - \frac{1}{2\mu} (\nabla_{\mathbf{R}}^2)_{12} \right] F_2(\mathbf{R}, t),$$

и

$$A_{21}(\mathbf{R}, t) = - \left[ V_{21} \cos \omega t + V'_{21} \cos \omega' t - \frac{1}{\mu} (\nabla_{\mathbf{R}})_{21} \nabla_{\mathbf{R}} - \frac{1}{2\mu} (\nabla_{\mathbf{R}}^2)_{21} \right] F_1(\mathbf{R}, t).$$

При больших расстояниях  $R \gg 1$  величины  $V_{11}, V_{22}$  можно заменить их асимптотическими значениями  $V_{11} \simeq \langle \varphi_A | V | \varphi_A \rangle, V_{22} \simeq \langle \varphi_B | V | \varphi_B \rangle$  и, аналогично, для  $V'_{11}, V'_{22}$ .

С учетом (2) имеем

$$\begin{aligned} V_{11} &= (N_A - Z_A) \mathbf{E} \mathbf{R}_A + (N_B - Z_B) \mathbf{E} \mathbf{R}_B + \mathbf{E} \mathbf{R}_A + \langle \varphi_A | \mathbf{E} (\mathbf{r} - \mathbf{R}_A) | \varphi_A \rangle = \\ &= \frac{M_A (N_B - Z_B) - M_B (N_A - Z_A + 1)}{M_A + M_B} \mathbf{E} \mathbf{R} \equiv \mathbf{E}_1 \mathbf{R}, \quad V_{22} = (\mathbf{E}_1 + \mathbf{E}) \mathbf{R} \equiv \mathbf{E}_2 \mathbf{R}. \end{aligned} \quad (7)$$

Недиагональные матричные элементы  $V_{12}(V'_{12})$  определяются перекрыванием электронных волновых функций и экспоненциально спадают с ростом  $R$ , если осуществляется процесс перезарядки ( $V_{12} \ll V_{11}$ ); если перезарядка не происходит, то  $V_{12}$  изменяется степенным образом.

В (5), (6) можно пренебречь слабой зависимостью  $\varepsilon_{1,2}$  от межъядерного расстояния  $R$ , поскольку

$$|\varepsilon_{1,2}(\infty) - \varepsilon_{1,2}(R)| \ll V_{11}, V_{22}, \quad \frac{P^2}{2\mu}, \quad (8)$$

где  $P$  — импульс относительного движения ядер.

Амплитуда перехода  $1 \rightarrow 2$  в первом порядке теории возмущений по  $V_{21}$  и по  $(\nabla_R)_{21} \nabla_R$ ,  $(\nabla_R^2)_{21}$  равна

$$f_{12} = -i \langle F_{2k} | A_{21}(\mathbf{R}, t) \rangle_{\mathbf{R}, t} = i \left\langle F_{2k} | V_{21} \cos \omega t + V'_{21} \cos \omega' t - \frac{1}{\mu} (\nabla_R)_{21} \nabla_R - \frac{1}{2\mu} (\nabla_R^2)_{21} | F_{1p} \right\rangle, \quad (9)$$

где

$$F_{1p} = (2\pi)^{-3/2} \exp \left\{ i \left( \mathbf{p} - \frac{\mathbf{E}_1}{\omega} \sin \omega t - \frac{\mathbf{E}'_1}{\omega'} \sin \omega' t \right) \mathbf{R} - \frac{i}{2\mu} \int^t \left[ \mathbf{p} - \frac{\mathbf{E}_1}{\omega} \sin \omega \tau - \frac{\mathbf{E}'_1}{\omega'} \sin \omega' \tau \right]^2 d\tau - i\varepsilon_1 t \right\} \quad (10)$$

— волновая функция относительного движения ядер с импульсом  $\mathbf{p}$  до столкновения. Волновая функция движения ядер после столкновения  $F_{2k}$  получается из (10) заменой  $\mathbf{p} \rightarrow \mathbf{k}$ ,  $1 \rightarrow 2$ . Подставляя (10) в (9) и раскладывая полученное выражение в ряд по  $\exp(is\omega t)$ ,  $\exp(is'\omega't)$  [5], найдем вероятность излучения частоты  $\omega'$  в процессе перехода  $1 \rightarrow 2$  в единицу времени

$$dW = (2\pi)^{-5} |\langle e^{i(\mathbf{p}-\mathbf{k}) \cdot \mathbf{R}} | B_s(\mathbf{R}, \mathbf{k}) \rangle|^2 \delta \left( \varepsilon_2 + \frac{k^2}{2\mu} - \frac{E_2^2}{4\mu\omega^2} - \varepsilon_1 - \frac{p^2}{2\mu} + \frac{E_1^2}{4\mu\omega^2} + s\omega + \omega' \right) d^3 k. \quad (11)$$

Здесь

$$B_s(\mathbf{R}, \mathbf{k}) = \left\{ \left[ \frac{1}{2} V'_{21} + \frac{\mathbf{E}'_1}{2\mu\omega'} (\nabla_R)_{21} \right] J_s(c) + \left[ \frac{1}{2} V_{21} (e^{i\varphi} J_{s+1}(c) + e^{-i\varphi} J_{s-1}(c)) - \frac{1}{\mu} (ip(\nabla_R)_{21} + \frac{1}{2} (\nabla_R^2)_{21}) J_s(c) - \frac{\mathbf{E}_1}{2\mu\omega} (\nabla_R)_{21} (e^{i\varphi} J_{s+1}(c) - e^{-i\varphi} J_{s-1}(c)) \right] \times \right. \\ \left. \times J_1(c') e^{i\varphi'} \right\} e^{is\varphi}, \quad (12)$$

$$c = \sqrt{a^2 + b^2}, \quad a = \frac{kE_2 - pE_1}{\mu\omega^2}, \quad b = \frac{E_2 - E_1}{\omega} \mathbf{R} = \frac{E\mathbf{R}}{\omega}, \quad \sin \varphi = \frac{a}{c}, \quad c' = \sqrt{a'^2 + b'^2},$$

$$a = \frac{kE'_2 - pE'_1}{\mu\omega'^2}, \quad b' = \frac{E'_2 - E'_1}{\omega'} \mathbf{R} = \frac{E'\mathbf{R}}{\omega'}, \quad \sin \varphi' = \frac{a'}{c'}, \quad (13)$$

$$k^2 = p^2 + 2\mu (\varepsilon_1 - \varepsilon_2 - s\omega - \omega') + \frac{E_1^2 - E_2^2}{2\omega^2}, \quad (14)$$

$J_s(c)$  — функция Бесселя.

В выражении (12) для  $B_s(\mathbf{R}, \mathbf{k})$  оставлены ведущие члены с  $s' = 1$ , ответственные за вторичное излучение.

Соотношение (11) определяет вероятность излучения частоты

$$\omega' = \varepsilon_1 - \varepsilon_2 - s\omega + \frac{p^2 - k^2}{2\mu} + \frac{E_1^2 - E_2^2}{4\mu\omega^2}$$

в процессе перезарядки иона на атоме  $A^- + B \rightarrow A + B^-$  или возбуждения иона  $A^- + B \rightarrow (A)^* + B$  в сильном поле  $E \cos \omega t$  с поглощением ( $s < 0$ ) или испусканием ( $s > 0$ )  $s$  квантов  $\omega$ .

Сечение радиационного процесса перезарядки (или возбуждения), просуммированное по числу  $s$  поглощенных (испущенных) квантов внешнего поля равно

$$d\sigma = dW \frac{\mu (2\pi)^3}{p} = \sum_s d\sigma^{(s)}, \quad (15)$$

где

$$d\sigma^{(s)} = \frac{k}{p} \frac{\mu^2}{4\pi^2} |\langle e^{i\Delta p \cdot \mathbf{R}} | B_s(\mathbf{R}, \mathbf{k}) \rangle|^2 d\Omega \quad (16)$$

и  $\Delta p = \mathbf{p} - \mathbf{k}$  — изменение импульса относительного движения ядер. При  $E = E' = 0$  выражение (15) — (16) дает известный результат борновского приближения в рассеянии.

Форма линии излучения определяется в основном зависимостью от частоты  $\omega'$  матричного элемента

$$\alpha^s(\omega') = \langle e^{i\Delta p R} | B_s(R, k) \rangle. \quad (17)$$

Для процесса перезарядки при характерных значениях параметров  $E \sim 10^{-3}$ ,  $\omega \sim 10^{-1}$ ,  $R_0 \sim 10$ ,  $v \sim (p/M) \sim (k/M) \sim 10^{-2}$  выполняются соотношения  $a \ll b \ll 1$  и  $a' \ll b' \ll 1$ . При этих условиях  $\varphi, \varphi' \approx 0$  и  $c, c' \ll 1$ , а  $B_s(R, k)$  принимает вид

$$B_s(R, k) = \frac{(\text{sgn } s)^s}{2^{|s|+1} |s|!} \left( \frac{ER}{\omega} \right)^{|s|-1} \left[ \left( \frac{ER}{\omega} \right) (E'D_{21})' + s (ED_{21}) \left( \frac{E'R}{\omega'} \right) \right] \quad (18)$$

в пренебрежении неадиабатическими членами  $\sim (\nabla_R)_{21}, (\nabla_R^2)_{21}$ , вносящими малый вклад в сечение [6].

Вектор дипольного момента перехода направлен по оси столкновения

$$D_{21} = R S(R) \quad (19)$$

и его величина определяется перекрыванием волновых функций сталкивающихся атомов

$$S(R) = S_0 R^3 e^{-qR}. \quad (20)$$

С учетом (19) выражение (18) для  $B_s(R, k)$  перепишем в виде

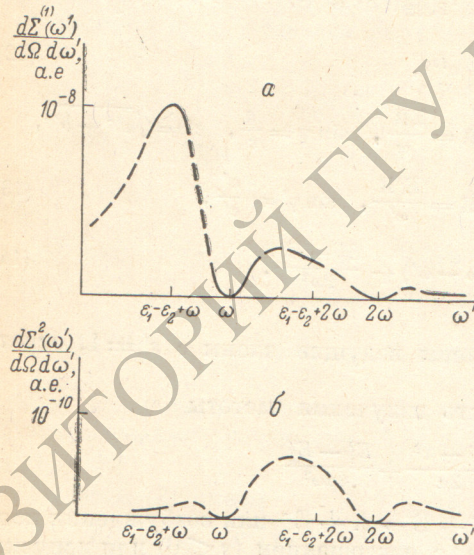
$$B_s(R, k) = \frac{(\text{sgn } s)^s}{2^{|s|+1} |s|!} \frac{\omega' + s\omega}{\omega'} \left( \frac{ER}{\omega} \right)^{|s|} (E'R) S(R). \quad (21)$$

Отсюда видно, что в спектре излучения должны наблюдаться провалы на кратных частотах  $\omega' = |s|\omega$  ( $-s = 1, 2, \dots$ ), что объясняется интерференцией двух составляющих амплитуды (18).

Амплитуда  $\alpha^s$  максимальна для столкновений с малым изменением импульса, что соответствует излучению в области частот  $\omega' \sim |\varepsilon_1 - \varepsilon_2 - s\omega|$ . При  $|\Delta p|R_0 \ll 1$  найдем

$$\alpha^s(\omega') = C_0^s + C_1^s |\Delta p| + O(|\Delta p|^2), \quad (22)$$

где  $C_0^s = 0$  при всех четных  $|s| = 2n$ , а  $C_1^s = 0$  при всех нечетных  $|s| = 2n+1$  ( $n = 0, 1, 2, \dots$ ). Отсутствие излучения на частотах  $\omega' = |\varepsilon_1 - \varepsilon_2 \pm 2n\omega + (E_1^2 - E_2^2)/4\mu\omega^2|$  при упругом рассеянии вперед  $\Delta p = 0$  легко понять на при-



Зависимость сечения рассеяния от частоты  $\omega'$  в процессе перезарядки  $A^- + B \rightarrow A + B^-$  при  $-s=1$  (а) и  $-s=2$  (б).

Сплошной кривой изображены участки, описываемые формулами (22)–(24). Выбранный масштаб соответствует столкновению  $H^- + He$ .

мере  $s=0$  (в этом случае на систему действует только поле  $E' \cos \omega' t$ ). При прохождении частицами области наибольшего сближения ( $R=R_{\min}$ ) дипольный момент системы меняет знак на противоположный, что равносильно изменению на  $\pi$  фазы рассеянного излучения.

В результате интерференции вкладов от различных участков траектории имеем  $\alpha^0(|\varepsilon_1 - \varepsilon_2 + (E_1^2 - E_2^2)/4\mu\omega^2|) = 0$ . Аналогичная ситуация имеет место при всех четных  $|s| = 2n$ .

Для столкновений с большими изменениями импульса  $|\Delta p|R_0 \gg 1$  интеграл (17) можно оценить по методу перевала. В результате получим

$$\alpha^s(\omega') \sim \frac{\omega' + s\omega}{|\Delta p|^3}. \quad (23)$$

Отсюда видно, что вклад упругих столкновений  $|\mathbf{p}| = |\mathbf{k}|$  с рассеянием на большие углы  $|\Delta\mathbf{p}| R_0 \gg 1$  в интенсивность на частотах  $\omega' = |\varepsilon_1 - \varepsilon_2| + (2n + 1)\omega + (E_1^2 - E_2^2)/4\mu\omega^2$  мал по сравнению с (22). Для столкновений с большими изменениями модуля импульса  $||\mathbf{p}|| - |\mathbf{k}| ||R_0 \gg 1$  найдем

$$\alpha^s(\omega') \sim \frac{1}{|\omega' - \omega'_0|^{\beta}}, \quad (24)$$

что определяет форму линии в областях  $\omega' \gg \omega'_0$  и  $\omega' \ll \omega'_0$ , где  $\omega'_0 = |\varepsilon_1 - \varepsilon_2 - s\omega + (E_1^2 - E_2^2)/4\mu\omega^2|$ . Качественный вид зависимости сечения рассеяния

$$\frac{d\Sigma^{(s)}(\omega')}{d\Omega} = \frac{8\pi}{cE^2} \omega dW$$

от частоты  $\omega'$  в расчете на одно столкновение изображен на рисунке для процесса  $H^- + He + s\omega \rightarrow H + He^- + \omega'$  при  $|\varepsilon_1 - \varepsilon_2| = 0.025$ ,  $\omega \sim 10^{-1}$ ,  $v \sim 10^{-2}$ ,  $s = 1, 2$ .

В общем случае вычисление интеграла (17) производится в сферической системе координат, связанной с молекулой; ось  $z$  направлена вдоль вектора  $\Delta\mathbf{p} = \mathbf{p} - \mathbf{k}$ , вектор  $\mathbf{E}$  лежит в плоскости  $xz$ . В результате расчета получаем

$$\begin{aligned} \alpha^s(\omega') = i^{1-s} |(\text{sgn } s)^s \cdot \frac{S_0 \pi^{3/2}}{(2\omega)^{|s|}} \left\{ \sum_{l=0}^{\lfloor \frac{|s|}{2} \rfloor} \frac{i^{2l} E_x^{2l+1} E_z^{|s|-2l-1} E'_x}{2^{2l+1} l! (|s| - 2l - 1)!} \int_0^\infty dR R^{|s|+\beta+3} e^{-qR} \times \right. \right. \\ \times \frac{d^{|s|-2l-1}}{d(|\Delta\mathbf{p}| R)^{|s|-2l-1}} \left( \frac{|\Delta\mathbf{p}| R}{2} \right)^{-l-3/2} J_{l+s/2}(|\Delta\mathbf{p}| R) - \\ - \sum_{l=0}^{\lfloor \frac{|s|}{2} \rfloor} \frac{i^{2l} E_x^{2l} E_z^{|s|-2l} E'_z}{2^{2l} l! (|s| - 2l)!} \int_0^\infty dR R^{|s|+\beta+3} e^{-qR} \times \\ \left. \left. \times \frac{d^{|s|-2l+1}}{d(|\Delta\mathbf{p}| R)^{|s|-2l+1}} \left( \frac{|\Delta\mathbf{p}| R}{2} \right)^{-l-1/2} J_{l+s/2}(|\Delta\mathbf{p}| R) \right\} \frac{\omega' + s\omega}{\omega'}, \right. \end{aligned} \quad (25)$$

где  $\lfloor \frac{|s|}{2} \rfloor$  — целая часть числа  $\frac{|s|}{2}$ .

При рассмотрении процессов, не сопровождающихся переходом электрона с атома А на атом Б, учтем, что  $\mathbf{E}_1 = \mathbf{E}_2 = \lambda \mathbf{E}$ ,  $\lambda = [M_A(N_B - Z_B) - M_B \times (N_A - Z_A + 1)]/(M_A + M_B)$  (7),  $b = b' = 0$  (13) и, следовательно,

$$c = a = -\lambda \frac{\Delta\mathbf{p}\mathbf{E}}{\mu\omega^2}, \quad c' = a' = -\lambda \frac{\Delta\mathbf{p}\mathbf{E}'}{\mu\omega'^2}, \quad \varphi = \varphi' = \frac{\pi}{2}. \quad (26)$$

Зависимость матричного элемента перехода  $V_{21} = \langle \psi_2^A | V | \psi_1^A \rangle$  от межъядерного расстояния  $R$  связана с поляризацией иона  $A^-$  налетающим атомом В и при небольших  $|\Delta\mathbf{p}|$  имеет вид [6]

$$V_{21} = V_{21}^0 + \frac{\kappa E}{R^2}, \quad V'_{21} = V'_{21}^0 + \frac{\kappa E'}{R^2}. \quad (27)$$

Не зависящее от  $R$  слагаемое в (27) характеризует процессы поглощения и испускания света ионом  $A^-$ . Зависящее от  $R$  слагаемое в (27) учитывает влияние столкновений на излучение комбинационных линий. Форма линии излучения в области частот  $\omega' \sim |\varepsilon_1 - \varepsilon_2 - s\omega|$  определяется величиной интеграла

$$\left\langle \left| e^{i\Delta\mathbf{p}R} \right| \frac{1}{R^2} \right\rangle \sim \frac{1}{|\Delta\mathbf{p}|} \quad (28)$$

и с учетом ширины атомных уровней  $\gamma$  имеет типичный лоренцевский вид  $(|\varepsilon_1 - \varepsilon_2 - s\omega - \omega'|^2 + \gamma^2)^{-1}$ .

Из полученных результатов следует, что в случае столкновения, сопровождающегося перераспределением частиц (перезарядка), вид спектра излу-

чения существенным образом зависит от динамики столкновения и квантовости процесса (следует подчеркнуть, что для реакции  $A^+ + A \rightarrow A + A^+$  в резонансном поле излучения эта зависимость имеет качественно иной характер [3]). В отсутствие перезарядки форма линии приобретает типичные черты столкновительного уширения. Таким образом, в спектре излучения сильно проявляются индивидуальные особенности столкновительного процесса.

#### Литература

- [1] В. С. Лисица, С. И. Яковленко. ЖЭТФ, 66, 1550, 1974.
- [2] Г. Ф. Друкарев, А. А. Михайлов. Опт. и спектр., 37, 384, 1974.
- [3] С. И. Ветчинкин, В. Л. Бахрах, И. М. Уманский. Опт. и спектр., 44, 857, 1978.
- [4] Л. А. Вайнштейн, И. И. Собельман, Е. А. Юков. Возбуждение атомов и уширение спектральных линий. «Наука», М., 1979.
- [5] Г. Бейтмен, А. Эрдейи. Высшие трансцендентные функции, ч. II. «Наука», М., 1974.
- [6] Б. М. Смирнов. Асимптотические методы в теории атомных столкновений. Атомиздат, М., 1973.

Поступило в Редакцию 5 ноября 1980 г.